

## پیش‌بینی تغییرات رواناب حوزه آبخیز زرینه‌رود تحت شرایط تغییر اقلیم از طریق شبیه‌سازی هیدرولوژیک

ملیحه راهواره<sup>۱</sup>، بهارک معتمدوزیری<sup>۲\*</sup>، علیرضا مقدم‌نیا<sup>۳</sup> و علی مریدی<sup>۴</sup>

- (۱) دانشجوی دکتری رشته علوم و مهندسی آبخیزداری، دانشکده منابع طبیعی و محیط‌زیست، واحد علوم و تحقیقات، دانشگاه آزاد اسلامی، تهران، ایران.
- (۲) استادیار گروه مرتع و آبخیزداری، دانشکده منابع طبیعی و محیط‌زیست، واحد علوم و تحقیقات، دانشگاه آزاد اسلامی، تهران، ایران.
- \* رایانame نویسنده مسئول مکاتبات: bmvaziri@gmail.com
- (۳) دانشیار گروه احیای مناطق خشک و کوهستانی، دانشکده منابع طبیعی، دانشگاه تهران، کرج، ایران.
- (۴) استادیار گروه مهندسی عمران، آب و محیط‌زیست، دانشگاه شهید بهشتی، تهران، ایران.

تاریخ پذیرش: ۱۳۹۹/۱۲/۱۹

تاریخ دریافت: ۱۳۹۹/۰۸/۱۷

### چکیده

بررسی رفتار رودخانه تحت تأثیر تغییر اقلیم، بهویژه میزان رواناب در دوره‌های آینده ضروری است. این پژوهش با در نظر گرفتن مدل گردش عمومی جو (GCM) تحت سناریوهای انتشار 2.6 RCP و 8.5 RCP، تأثیر تغییر اقلیم بر رواناب حوضه زرینه‌رود (بزرگ‌ترین زیرحوضه دریاچه ارومیه) را ارزیابی کرده است. برای این منظور با استفاده از داده‌های تغییر اقلیم مدل HadGEM2-ES طی دوره ۲۰۵۰-۲۰۲۵، تغییرات دما و بارش در دوره‌های آتی در حوضه زرینه‌رود بررسی گردید. جهت ریزمقياس نمودن این داده‌ها، جعبه ابزار CCT به کار برده شد. از مدل SWAT جهت ارزیابی تأثیر تغییر اقلیم بر رواناب حوضه استفاده گردید. مدل SWAT با استفاده از آمار ماهانه رواناب، اعتبارسنجی و صحبت‌سنجی شد. در ادامه با معرفی نتایج ریزمقياس شده مدل گردش عمومی جو، به مدل SWAT، تغییرات رواناب خروجی حوضه در طی دوره ۲۰۵۰-۲۰۲۵ شبیه‌سازی گردید. نتایج نشان داد که مدل SWAT عملکردهای خوبی در شبیه‌سازی رواناب ارایه می‌دهد. میانگین نتایج جعبه ابزار CCT نشان داد که حداقل و حداقل دما در دوره مذکور افزایش می‌باشد. بارش سالانه ۳/۶ درصد افزایش تحت 2.6 RCP و ۲/۹ درصد کاهش تحت 8.5 RCP را نشان داد. نتیجه بررسی رواناب نشان داد که میانگین رواناب دوره آتی در زمستان، بهار و تابستان کاهش می‌باشد در حالی که روند افزایشی رواناب در پاییز مشهود می‌باشد. رواناب سالانه تحت 2.6 RCP و 8.5 RCP به ترتیب حدود ۶/۵ و ۳۰ درصد کاهش یافته است که متعاقباً باعث کاهش تخلیه این رودخانه به دریاچه ارومیه می‌شود.

**واژه‌های کلیدی:** تغییر اقلیم، حوضه زرینه‌رود، رواناب، سناریوهای RCP، مدل SWAT، HadGEM2-ES.

مقدمه

رواناب در حوضه با تغییر اقلیم ارتباط نزدیک دارد (Luo *et al.*, 2014). بسیاری از مطالعات گزارش کرده‌اند که تغییرات رواناب در حوضه با تغییر اقلیم ارتباط نزدیک دارد (Shang *et al.*, 2019; Wu *et al.*, 2015; Zhang *et al.*, 2016; Zhang *et al.*, 2016b; Zhang *et al.*, 2016a). حوزه آبخیز زرینه‌رود، منبع اصلی جریان ورودی به دریاچه ارومیه است. دریاچه ارومیه طی ۲۵ سال گذشته با کاهش سطح آب به‌طور متوسط

درک بهتر از تغییرات رواناب و نیروهای محرک بالقوه‌ی آن از اهمیت حیاتی برای استفاده موثر از منابع آب و مدیریت جریان‌های رودخانه برخوردار است. به‌طور کلی، تغییر اقلیم و فعالیت‌های انسانی عوامل مهمی هستند که بر رواناب تأثیر می‌گذارند (Shi & Wang, 2015; Ye *et al.*, 2013; Zhang *et al.*,

خواهد شد. Muelchi و همکاران (۲۰۲۱) با استفاده از مدل‌های GCM تحت سناریوهای انتشار RCP 2.6، RCP 4.5 و RCP 8.5 به بررسی تغییرات رواناب تحت شرایط تغییر اقلیم در سوئیس پرداختند. نتایج آنها نشان داد میانگین سالانه رواناب در اکثر حوضه‌ها کاهش یافته است. هدف از این پژوهش بررسی اثر تغییر اقلیم بر رواناب حوضه زرینه می‌باشد. بدین منظور مدل HadGEM2-ES، از گزارش پنجم هیات بین‌دولتی تغییر اقلیم در دو حالت انتشار<sup>۴</sup> RCP برای شیوه‌سازی اقلیم و سنجه‌های آن (بارش، دمای حداقل و حداکثر) به کار گرفته شد. برای شیوه‌سازی رواناب نیز مدل SWAT به کار گرفته شد. در این پژوهش، پیش‌بینی‌های آتی در دوره آینده نزدیک (۲۰۲۵-۲۰۵۰) تحت دو سناریو ۲/۶ و ۸/۵ صورت پذیرفت. نوآوری این مقاله، کاربرد مدل گردش عمومی مندرج در گزارش پنجم هیات بین‌دولتی تغییر اقلیم با استفاده از خروجی ریزمقیاس‌نمایی شده توسط جعبه ابزار CCT جهت بررسی مولفه‌های دما و بارش در حوزه آبخیز زرینه‌رود می‌باشد. همچنین از داده‌های جدید برای ورودی مدل SWAT به منظور شیوه‌سازی رواناب استفاده شد.

## مواد و روش‌ها

### خصوصیات منطقه مطالعه‌ی

حوزه آبخیز زرینه‌رود با مساحتی بالغ بر ۱۲۵۱۲ کیلومترمربع، در شمال غربی ایران در موقعیت<sup>۱</sup> ۳۷°-۴۱° شرقی و ۲۰°-۴۷° شمالی واقع شده است (شکل ۱). رودخانه زرینه‌رود از مهم‌ترین و طویل‌ترین رودخانه‌های حوزه آبخیز دریاچه ارومیه است که از گوشه جنوب‌شرقی به دریاچه ارومیه می‌ریزد و طول آن ۲۴۰ کیلومتر و میانگین آبدی این رودخانه ۱۳۹/۵ میلیون مترمکعب برآورد می‌شود. سد بوکان، سد اصلی مورد بهره‌برداری در این حوضه بوده و از آن برای مصارف کشاورزی و شرب استفاده می‌شود.

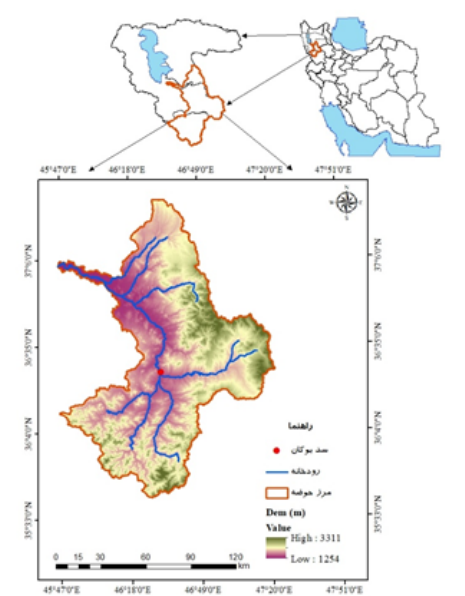
۴۰ سانتی‌متر در سال در حال کاهش است (Ahmadaali *et al.*, 2016; Jalili *et al.*, 2018) که دلیل عدمه آن ناشی از کاهش ورودی‌ها به آن است. این خشک شدن منجر به پیامدهای اقتصادی، اجتماعی و زیست‌محیطی بسیاری شده است (Boroughani *et al.*, 2020). بر اساس پژوهش Hassanzadeh و همکاران (۲۰۱۲) تغییرات ورودی به دریاچه ارومیه ناشی از تغییر اقلیم و استفاده بیش از حد از منابع آب سطحی بوده که ۶۵ درصد کاهش سطح آب را به دنبال داشته است. Shang و همکاران (۲۰۱۹) در مطالعه‌ای به این نتیجه رسیدند که تغییر اقلیم ۸۷ درصد از تغییرات رواناب پس از سال ۲۰۰۴ را به خود اختصاص داده است. از آنجایی که تغییر اقلیم تاثیر به سزایی بر میزان رواناب دارد، بنابراین ضروری است که تاثیر تغییر اقلیم بر رواناب به کمک مدل‌های گردش عمومی جو (GCM<sup>۲</sup>) و مدل‌سازی بارش‌رواناب برای دوره‌های آینده پژوهش شود. پژوهش‌های گستردۀای بر تغییر اقلیم در ایران انجام شده است (Ahmadi *et al.*, 2020; Mahmudi *et al.*, 2021; Yazdandoost *et al.*, 2020) در ارزیابی اثر تغییر اقلیم به کمک مدل SWAT<sup>۳</sup> در حوزه آبخیز سیمینه‌رود نشان دادند که در آینده، ۲۵ درصد منابع آبی حوضه کاهش پیدا می‌کند. به علت بزرگ بودن سلول‌های محاسبه‌ای در پژوهش‌های تغییر اقلیم باید با روش ریزمقیاس‌گردانی، مقیاس سلول محاسبه‌ای را کوچک‌مقیاس کرد. نادری و همکاران (۱۳۹۸) در حوضه دریاچه ارومیه و محمدعلیزاده‌فرد و همکاران (۱۳۹۹) در حوضه دریان از جعبه ابزار<sup>۳</sup> CCT جهت ریزمقیاس‌نمایی و تصحیح خطاهای داده‌های اقلیمی مدل‌های GCM استفاده کردند. Emami و Koch (۲۰۱۹) در ارزیابی اثر تغییر اقلیم در حوضه زرینه‌رود نشان دادند که در دوره آینده، حوضه با کمبود آب مواجه

۱ General Circulation Model

۲ Soil and Water Assessment Tool

۳ Climate Change Toolkit

۴ Representative Concentration Pathway

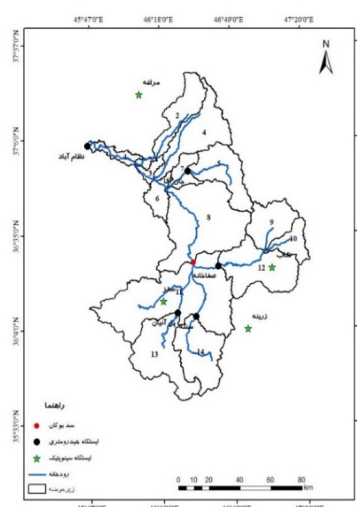


شکل ۱. موقعیت حوضه زرینه‌رود و زیرحوضه‌های آن

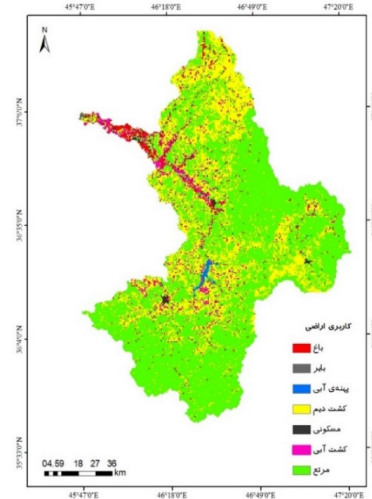
رواناب پنج ایستگاه هیدرومتری از سال ۱۹۹۶-۲۰۱۷ جهت اعتبارسنجی و صحتسنجی مدل SWAT استفاده شد که مشخصات این ایستگاه‌ها در جدول (۱) ارایه شده است. موقعیت ایستگاه‌های هواشناسی و هیدرومتری در شکل (۳) نشان داده شده است. اطلاعات مدیریتی حوضه، مانند الگوی کشت و اطلاعات سد بوکان نیز به صورت اختیاری به مدل SWAT معرفی شد (Ahmadzadeh *et al.*, 2016; Ashraf *et al.*, 2016; Vaghefi *et al.*, 2017).

## داده‌های مورد استفاده

مجموعه داده‌های مورد استفاده در این مطالعه شامل اطلاعات هواشناسی، هیدرولوژی، کاربری اراضی (شکل ۲)، مدل رقومی ارتفاعی<sup>۱</sup> (DEM) با اندازه سلولی ۳۰ متر و داده‌های نوع خاک از نقشه جهانی خاک FAO می‌باشد. از داده‌های هواشناسی، بارش، حداقل و حداکثر دما با گام زمانی روزانه از سال ۱۹۹۰ تا ۲۰۱۹ میلادی مربوط به چهار ایستگاه سینوبیتیک که نزدیک‌ترین فاصله را با منطقه مطالعه داشتند جهت شبیه‌سازی رواناب استفاده گردید. همچنین آمار ماهانه



شکل ۳. موقعیت ایستگاه‌های هواشناسی و هیدرومتری مورد استفاده در مدل SWAT



شکل ۲. نقشه کاربری اراضی حوضه زرینه‌رود

جدول ۱. مشخصات ایستگاه‌های سینوپتیک و هیدرومتری مورد استفاده در تحقیق

ردیف	نام ایستگاه	طول جغرافیایی	عرض جغرافیایی	ارتفاع	دوره آماری	نوع ایستگاه
۱	زرینه	۴۶/۹۱	۳۶/۰۶	۲۱۴۲/۶	۱۹۹۰-۲۰۱۹	سینوپتیک
۲	تکاب	۴۷/۰۹	۳۶/۳۹	۱۸۱۷/۲	۱۹۹۰-۲۰۱۹	سینوپتیک
۳	سقز	۴۶/۳۱	۳۶/۲۲	۱۵۲۲/۸	۱۹۹۰-۲۰۱۹	سینوپتیک
۴	مراغه	۴۶/۱۴	۳۷/۳۴	۱۳۴۴	۱۹۹۰-۲۰۱۹	سینوپتیک
۵	نظام آباد	۴۵/۹۴	۳۷/۰۵	۱۲۸۲	۱۹۹۶-۲۰۱۷	هیدرومتری
۶	جان آقا	۴۶/۴۹	۳۶/۹	۱۴۱۰	۱۹۹۶-۲۰۱۶	هیدرومتری
۷	صفاخانه	۴۶/۷	۳۶/۴	۱۵۳۳	۱۹۹۶-۲۰۱۶	هیدرومتری
۸	پل آستان	۴۶/۲۳	۳۶/۲	۱۴۵۵	۱۹۹۶-۲۰۱۷	هیدرومتری
۹	سنندج	۴۶/۵	۳۶/۱۷	۱۵۸۱	۱۹۹۶-۲۰۱۷	هیدرومتری

## اعتبارسنجی، صحبت‌سنجی و آنالیز عدم قطعیت مدل

### SWAT

برای اعتبارسنجی و صحبت‌سنجی مدل از نرم‌افزار SWAT-CUP بر اساس داده‌های رواناب ثبت شده در ۵ ایستگاه هیدرومتری استفاده شد (Van Griensven *et al.*, 2006). از الگوریتم SUFI-2 برای تعیین دامنه‌ها و مقادیر بهینه پارامترها استفاده شد (Abbaspour, 2015; Anoh *et al.*, 2017) و مقادیر بهینه پارامترها به مدل معرفی شدند و در نهایت پارامترهایی با حساسیت شدید انتخاب شدند. سال ۱۹۹۶-۲۰۱۳ برای دوره اعتبارسنجی مدل و سال ۲۰۱۷-۲۰۱۴ به عنوان دوره صحبت‌سنجی مدل تعیین شد. ضریب نش ساتکلیف (NSE)، ضریب همبستگی ( $R^2$ ) و درصد بایاس (PBIAS) برای ارزیابی قدرت پیش‌بینی مدل استفاده شد (Fu *et al.*, 2019) که در معادله‌های (۲) تا (۴) نشان داده شده است:

$$NSE = 1 - \frac{\sum_{i=1}^n (Q_{oi} - Q_{si})^2}{\sum_{i=1}^n (Q_{oi} - Q_{avg})^2} \quad (2)$$

$$R^2 = \frac{[\sum_{i=1}^n (Q_{oi} - Q_{avg})(Q_{si} - Q'_{avg})]^2}{\sum_{i=1}^n (Q_{oi} - Q_{avg})^2 \sum_{i=1}^n (Q_{si} - Q'_{avg})^2} \quad (3)$$

$$PBIAS = 100 \times \frac{\sum_{i=1}^n (Q_{oi} - Q_{si})}{\sum_{i=1}^n (Q_{oi})} \quad (4)$$

در معادله‌های ۲، ۳ و ۴ مقادیر  $Q_{si}$  و  $Q'_{avg}$  به ترتیب رواناب شبیه‌سازی شده و متوسط رواناب شبیه‌سازی شده و  $Q_{oi}$  و  $Q_{avg}$  به ترتیب مقادیر رواناب مشاهداتی و متوسط رواناب مشاهداتی، همچنین  $n$  تعداد مشاهدات است. عدم قطعیت با استفاده از دو شاخص کمی شد. عامل P-factor که درصد داده‌های اندازه‌گیری شده‌ای است که در محدوده

### SWAT مدل

مدل SWAT که توسط مرکز تحقیقات کشاورزی آمریکا تهیه شده است، یک مدل هیدرولوژیکی فیزیکی - توزیعی است که در مقیاس حوزه آبخیز استفاده می‌شود (Hu *et al.*, 2018; Yu *et al.*, 2020). مدل SWAT به طور گسترده برای تعیین کمیت تاثیر تغییر اقلیم و فعالیت‌های انسانی بر فرآیندهای هیدرولوژیکی، پیش‌بینی پاسخ تخلیه آب رودخانه در اثر تغییر اقلیم در آینده و شیوه‌های مدیریت زمین استفاده می‌شود (Mittal *et al.*, 2016; Sellami *et al.*, 2016). بنابراین مدل SWAT برای شبیه‌سازی رواناب در این پژوهش انتخاب شد. بنابراین معادله اصلی حاکم بر مدل، معادله بیلان آب است:

$$SWt = SW_0 + \sum_{i=1}^t (R_{day} - Q_{surf} - E_a - W_{seep} - Q_{gw}) \quad (1)$$

که در آن  $SWt$  ظرفیت نهایی آب در خاک،  $SW_0$  ظرفیت اولیه آب در خاک،  $R_{day}$  بارش روزانه،  $Q_{surf}$  رواناب سطحی،  $E_a$  تبخیر و تعرق واقعی،  $W_{seep}$  آبی که به ناحیه غیراشباع خاک وارد می‌شود و  $Q_{gw}$  آب زیرزمینی که به رودخانه وارد می‌شود، می‌باشد (Neitsch *et al.*, 2005).

پس از تهیه داده‌های اقلیمی و مکانی مورد نیاز، گام بعدی تبدیل حوضه به چندین زیرحوضه و تعیین تعداد واحدهای هیدرولوژیکی یکسان<sup>۱</sup> (HRU) بود. ترکیبی از نقشه‌های خاک، کاربری زمین و شبکه/توبوگرافی منجر به ۱۴ زیرحوضه و HRU ۶۶۶ برای حوضه زرینه‌رود شد. همچنین داده‌های خروجی ماهانه مخزن سد بوکان در دوره بهره‌برداری ۱۹۷۲-۱۹۱۹ به مدل SWAT وارد شد. دوره شبیه‌سازی مدل از ۱۹۹۰ تا ۲۰۱۹ بود که از آن ۱۹۹۴-۱۹۹۰ به عنوان دوره گرم شدن مدل تعیین شد.

برای پیش‌بینی اقلیم آینده از آمار بارش و دمای حداقل و حداکثر روزانه مدل HadGEM2-ES مستخرج از گزارش پنجم هیات بین‌کشوری تغییر اقلیم<sup>۱</sup> (Hempel *et al.*, (IPCC<sup>۲</sup>) ۲۰۱۳) تحت دو سناریوی انتشار RCP 2.6 و RCP 8.5 استفاده شد. در مطالعات تغییر اقلیم، سناریوهای انتشار RCP 2.6 و RCP 8.5 به ترتیب به عنوان سناریوی انتشار خوش‌بینانه HadGEM2-ES مشخصات مدل RCP 2.6 و RCP 8.5 به دلیل مطرح می‌گردند. مشخصات مدل GCM در جدول (۲) ارایه شده است. از آنجایی که این GCM در مطالعات تغییر اقلیم با امکان مطلوب در ایران به کار رفته، در این پژوهش نیز مورد انتخاب قرار گرفت (Vaghefi *et al.*, 2019). استفاده از چندین سناریوی انتشار برای پیش‌بینی شرایط آب‌وهایی، امکان مطالعه پارامترهای مختلف و کاهش عدم دقت شبیه‌سازی را فراهم می‌آورد (Knutti *et al.*, 2010).

باذه عدم قطعیت ۹۵ درصد (ppu ۹۵) پیش‌بینی مدل قرار گرفت. بر این اساس همه ورویدهای مدل همانند توزیع بارندگی و دما که در خروجی مدل آشکار می‌شوند، اصلاح شد. یکی دیگر از ابزارهای اندازه‌گیری در طی دوره اعتبارسنجی و آنالیز عدم قطعیت، پارامتر R-factor بود که متوسط محدوده ۹۵ درصد به وسیله انحراف‌معیار داده‌های اندازه‌گیری شده، تقسیم شد. مقدار P-factor بین ۰ و ۱۰۰ و پیرو آن مقدار R-factor بین صفر و بی‌نهایت بود. یک شبیه‌سازی با P-factor مساوی ۱ و R-factor مساوی صفر، نشان‌دهنده آن بود که داده‌های شبیه‌سازی و اندازه‌گیری شده کاملاً مطابق هم بودند (Abbaspour *et al.*, 2009).

**مدل و سناریوهای انتشار در گزارش پنجم ارزیابی تغییر اقلیم**

جدول ۲. توصیف مدل انتخاب شده از گزارش ارزیابی پنجم (AR5)

موسسه و کشور	دقیق	GCM
MOHC انگلستان	۱/۸۷۵ ° × ۱/۲۵°	HadGEM2-ES

Additive Method  
دمای حداقل و حداکثر روزانه از روش انجام شد.

#### نتایج

#### آنالیز حساسیت، اعتبارسنجی و صحت‌سنجی مدل SWAT

اعتبارسنجی و صحت‌سنجی در نرم‌افزار SWAT-CUP ۲۰۱۲ انجام شد. بدین منظور در مرحله اول، پارامترهایی که به شبیه‌سازی رواناب مربوط بودند، برای تجزیه و تحلیل حساسیت اولیه انتخاب شدند. پارامترهای حساس با استفاده از تجزیه و تحلیل نمودار لاتین هایپرکیوب (Hypercube) در SWAT-CUP شناسایی شدند. تعداد ۲۳ پارامتر که تاثیر بیشتری بر رواناب داشتند، مشخص شدند (جدول (۳)). سپس محدوده‌های بهینه شده آن پارامترهای حساس را توسط الگوریتم SUFI-2 در SWAT-CUP، به طور خودکار کالیبره شد. در نهایت جهت صحت‌سنجی مدل، مقادیر پارامترهای کالیبره شده، بدون تغییر نگه داشته شد و برای شبیه‌سازی رواناب مورد استفاده قرار گرفت و در نهایت جهت تعیین

شبیه‌سازی و ریزمقیاس‌سازی مولفه‌های دما و بارش مدل‌های گردش عمومی جو برای مطالعات در سطح منطقه‌ای و محلی مناسب نمی‌باشند. بنابراین خروجی این مدل‌ها به منظور استفاده در مقیاس منطقه‌ای بایستی ریزمقیاس CCT<sup>۳</sup> شوند. در این پژوهش از روش ریزمقیاس‌نمایی آماری CCT استفاده گردید. جعبه ابزار CCT یک برنامه گرافیکی کاربردی است که به منظور تجزیه و تحلیل داده‌های آب و هوازی شامل استخراج، ریزمقیاس‌نمایی و درونیابی داده‌های گردش عمومی جو توسط Ashraf Vaghefi و همکاران (۲۰۱۷) توسعه یافته است. همچنین این برنامه قادر به محاسبه و تحلیل تحديدهای اقلیمی مانند دوره‌های خشک و مرطوب و نیز یافتن روند گذشته و پیش‌بینی الگوی فرآونی رخدادهای سیل و خشکشالی در آینده می‌باشد که برای اولین بار در حوضه زرینه‌رود از این مدل استفاده شد. در این مدل پس از استخراج داده‌های تغییر اقلیم برای محدوده مطالعه، ابتدا ریزمقیاس‌سازی انجام شد، سپس آنومالی و میانگین ماهانه و سالانه محاسبه گردید. همچنین تصحیح خطاهای برای داده‌های بارش با استفاده از روش Ratio Method و برای داده‌های

کمیت حساسیت و اهمیت نسبی هر پارامتر از t-stat و p-value استفاده شد.

جدول ۳. فهرست پارامترهای حساس مورد استفاده برای اعتبارسنجی مدل SWAT

t-stat	p-value	مقادیر نهایی پارامتر	واحد	توضیحات	نام پارامتر
۰/۴۸	۰/۶۳	۱/۵۰	درجه سانتی گراد (C)	دمای بارش برف	v__SFTMP.bsn
-۰/۷۳	۰/۹۷	۹/۱۶	درجه سانتی گراد (C)	دمای پایه ذوب برف	v__SMTMP.bsn
۱/۸۷	۰/۰۶	۷/۳۹	(C/km <sup>-۱</sup> )	نرخ گاشت دما	v__TLAPS.sub
-۵/۱۴	۰/۰۰	۳۶۰/۸۳	(mm H <sub>2</sub> O/km <sup>-۱</sup> )	نرخ گذشت بارش	v__PLAPS.sub
-۱/۸۰	۰/۰۷	۰/۰۹	بدون بعد	شعاره منحنی نفوذ در شرایط متوجه رطوبتی	r__CN2.mgt
۰/۱۲	۰/۹۱	۰/۸۰	(1/day)	ضریب پاسخ جریان پایه	v__ALPHA_BF.gw
۰/۵۱	۰/۶۱	۳۲۴/۰۲	(days)	مدت زمان زهکشی لایه های خاک بالای سطح ایستایی	v__GW_DELAY.gw
۱/۷۲	۰/۰۹	۱/۹۸	(mm)	حدائق ارتقاء سطح ایستایی لازم برای خروج آب زیرزمینی	v__GWQMN.gw
-۰/۲۹	۰/۷۸	۰/۹۹	بدون بعد	ضریب جریان تبخیر خاک	v__ESCO.hru
۰/۴۴	۰/۶۶	۰/۲۰	بدون بعد	ضریب مانیپول روخدانه اصلی	v__CH_N2.rte
۰/۲۲	۰/۸۳	۱۱۵/۶۴	(mm/hr)	هدایت الکتریکی موثر در روخدانه اصلی	v__CH_K2.rte
۱/۲۶	۰/۲۱	۰/۸۴	(1/day)	ضریب پاسخ جریان پایه در روخدانه ها	v__ALPHA_BNK.rte
۲/۹۳	۰/۰۰	-۰/۰۲	بدون بعد	ظرفیت آب قابل دسترس	r__SOL_AWC(1).sol
-۰/۶۸	۰/۵۰	-۰/۳۹	(mm/hr)	هدایت الکتریکی اشباع خاک در لایه سطحی	r__SOL_K(1).sol
۱/۰۲	۰/۳۱	۰/۱۴	بدون بعد	ضریب جریان گیرش آب گیاهی	v__EPCO.bsn
۰/۳۲	۰/۷۵	۱/۰۶	(mm/day-c)	فاکتور ذوب برف در طول سال	v__SMFMX.bsn
۰/۹۷	۰/۳۴	۰/۶۳	بدون بعد	پارامتر توان برای محاسبه رسوب در مسیریابی رسوب کانال	v__SPEXP.bsn
-۱/۶۸	۰/۱۰	۰/۰۱	بدون بعد	پارامتر برای محاسبه مسیریابی رسوب کانال	v__SPCON.bsn
۰/۱۳	۰/۹۰	۱۴/۰۲	بدون بعد	ضریب تاخیر رواناب سطحی	v__SURLAG.bsn
۰/۰۴	۰/۹۸	۱/۸۶	(mm/day-c)	فاکتور ذوب برف در طول سال	v__SMFMN.bsn
-۰/۴۲	۰/۶۷	۱/۷۲	(g/cm <sup>۳</sup> )	چگالی ظاهری رسوب بستر کانال	v__CH_BED_BD.rte
-۰/۱۱	۰/۹۲	۰/۰۷	بدون بعد	ضریب مریبو به تبخیر از لایه بالای سطح ایستایی	v__GW_REVAP.gw
۰/۲۳	۰/۸۲	۱/۳۶	(g/cm <sup>۳</sup> )	چگالی ظاهری خاک در لایه سطحی	r__SOL_BD(1).sol

۱ به معنای ضرب کردن مقدار پیش‌فرض مدل در (+۱) + مقدار بهینه پارامتر) و ۷ به معنی جایگزین شدن حد بهینه در پارامتر به جای مقدار

پیش‌فرض مدل

صحت‌سنجی متغیر است، در حالی‌که مقادیر NSE برای اعتبارسنجی از ۰/۵۲ تا ۰/۶۴ و برای صحت‌سنجی از ۰/۴۲ تا ۰/۶۴ متغیر است. بنابراین خروجی‌های مدل برای اکثر ایستگاه‌های هیدرومتری را می‌توان رضایت‌بخش ارزیابی کرد. نتایج شبیه‌سازی در شکل‌های (۴) و (۵) نشان داده شده است. در دوره صحت‌سنجی، ایستگاه‌های جانآقا و صفاخانه نتایج رضایت‌بخشی برای NSE و R<sup>2</sup> نداشتند، دلیل آن می‌تواند فعالیت‌های انسانی گسترده در بالادست این دو ایستگاه در طول دوره صحت‌سنجی باشد. جدول (۴) نتایج اعتبارسنجی، صحت‌سنجی و معیارهای عملکرد مدل را برای ۵ ایستگاه هیدرومتری مورد استفاده در این پژوهش‌نشان می‌دهد. ایستگاه هیدرومتری شویه‌سازی ۵۰ تا ۷۰ درصد (مقدار p-factor بین ۰/۵ تا ۰/۷) از داده‌های مشاهده شده در طول شبیه‌سازی را به دست آورده‌است. R-factor در حین اعتبارسنجی و صحت‌سنجی

هر پارامتری که مقدار قدرمطلق t-stat بیشتری داشته و همچنین مقدار p-value آن نزدیک به صفر باشد، تاثیر بیشتری بر رواناب داشته است. نتایج تحلیل حساسیت جدول (۳)، نشان می‌دهد، پارامترهای SOL-AWC, CN2, TLAPS، PLAPS به ترتیب بالاترین تاثیر را بر دبی حوضه زرینه‌رود داشتند. پارامتر PLAPS هنگام تعیین باندهای ارتفاعی در زیر حوضه‌ها، اثر توپوگرافی بر بارندگی را هدایت می‌کند (Boithias *et al.*, 2017). در مدل، برخی از زیرحوضه‌ها با یکدیگر اختلاف سطح زیادی دارند، بنابراین جای تعجب نیست که PLAPS با مقدار نهایی ۳۶۰/۸۳ میلی‌متر H<sub>2</sub>O در کیلومتر (mm H<sub>2</sub>O km<sup>-۱</sup>) به عنوان تاثیرگذارترین پارامتر، عامل کلیدی برای تنظیم بارش در حوضه است.

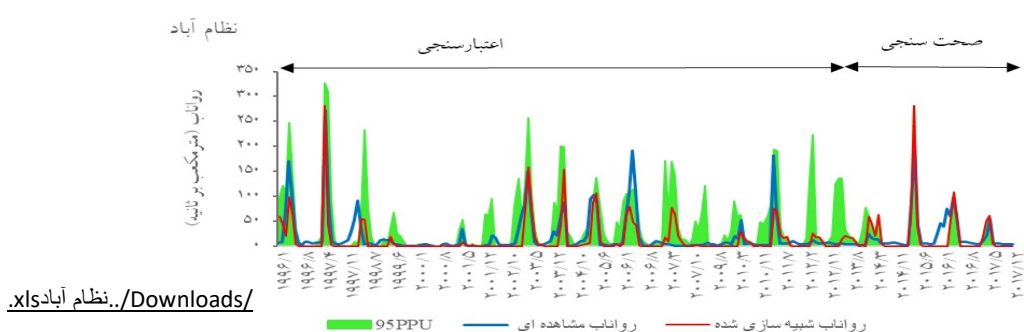
نتایج معیارهای ارزیابی قدرت مدل نشان داد که مقدار R<sup>2</sup> از ۰/۵۲ تا ۰/۷۰ برای اعتبارسنجی و از ۰/۴۴ تا ۰/۷۳ برای

## پیش‌بینی تغییرات رواناب حوزه آبخیز زرینه‌رود تحت شرایط تغییر اقلیم از طریق شبیه‌سازی هیدرولوژیک/۱۳۵

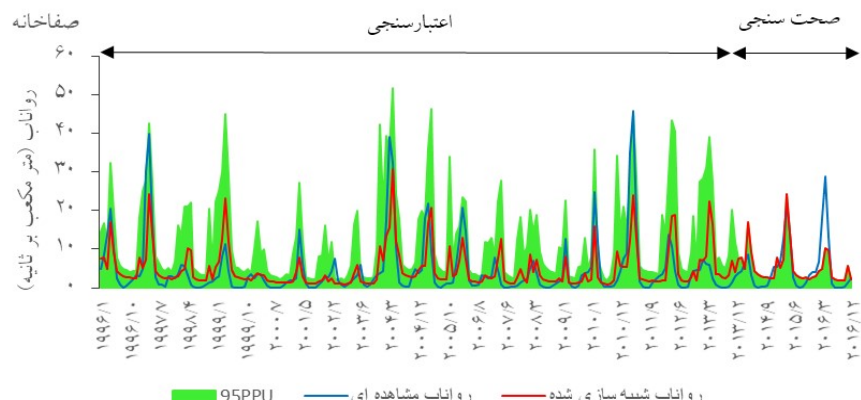
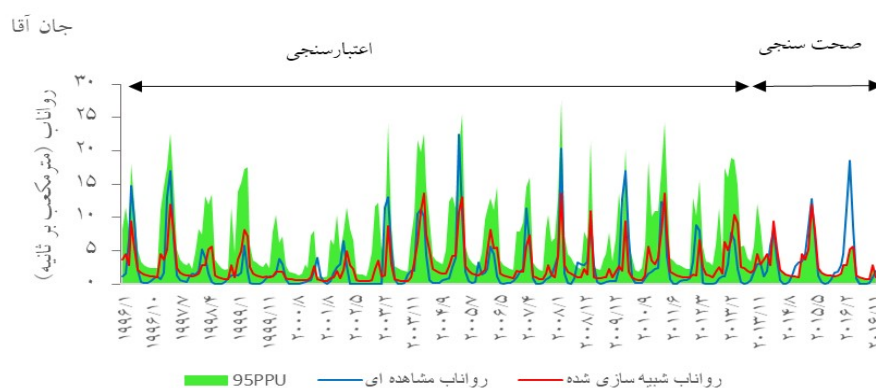
کوچکتر از  $1/5$  بود که نشان‌دهنده پیش‌بینی منطقی است، factor نشان‌دهنده عدم قطعیت بالاتر در طول اعتبارستنجی است (جدول ۴). به جز برای ایستگاه‌های جان‌آقا و صفاخانه مقادیر بزرگ‌تر  $R$ -

جدول ۴. نتایج اعتبارستنجی و صحبت‌سنجی برای ایستگاه‌های هیدرومتری در حوضه زرینه‌رود

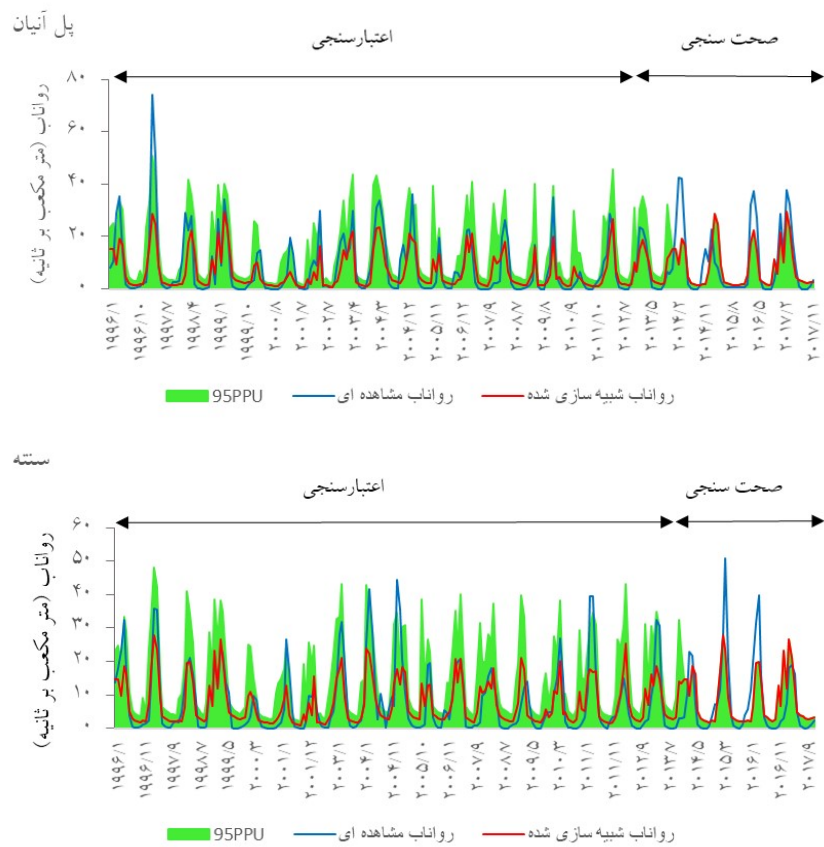
دوره صحبت‌سنجی (۲۰۱۷-۲۰۱۴)						دوره اعتبارستنجی (۱۹۹۶-۲۰۱۳)						ایستگاه هیدرومتری
P-Factor	R-Factor	R <sup>2</sup>	NSE	PBIAS	P-Factor	R-Factor	R <sup>2</sup>	NSE	PBIAS			
۰/۴۶	۰/۹۵	۰/۷۳	۰/۶۴	۲۰/۹	۰/۶۴	۱/۱۱	۰/۶۳	۰/۶۰	۲۵/۶	نظام‌آباد (خروجی حوضه)		
۰/۶۷	۱/۱۷	۰/۴۷	۰/۴۲	۲۲/۳	۰/۷۱	۱/۷۹	۰/۵۷	۰/۵۶	-۱۲/۳	جان‌آقا		
۰/۵۸	۱/۱۸	۰/۴۴	۰/۴۳	۱۰/۲	۰/۷۱	۱/۵۴	۰/۵۲	۰/۵۲	-۷/۵	صفاخانه		
۰/۵۸	۰/۷۲	۰/۵۴	۰/۵۰	۲۲/۳	۰/۶۶	۱/۱۷	۰/۷۰	۰/۶۴	۱۲/۹	بل‌آنان		
۰/۵۲	۰/۸۹	۰/۵۲	۰/۵۱	۷/۷	۰/۶۵	۱/۴۰	۰/۶۵	۰/۶۳	۰/۷	سننه		



نظام‌آباد.xls



شکل ۴. مقایسه سری زمانی رواناب مشاهداتی و شبیه‌سازی شده برای دوره اعتبارستنجی و صحبت‌سنجی در ایستگاه‌های نظام‌آباد، جان‌آقا و صفاخانه



شکل ۵. مقایسه سری زمانی رواناب مشاهداتی و شبیه‌سازی شده برای دوره اعتبارسنجی و صحبت‌سنجی در ایستگاه‌های پل آینان و سسته

به فصل تابستان و به میزان (۱۱/۲)- کاهشی و کمترین میزان مربوط به فصل زمستان است. میزان (۲/۱)- کاهشی می‌باشد. بارش سالیانه در این سناریو به میزان ۲/۹ درصد نسبت به دوره مشاهداتی کاهش یافته است. میانگین دمای حداقل و حداکثر سالیانه به ترتیب ۵۰/۱ و ۲۰ درصد افزایش یافته است. همچنین بررسی نتایج این مدل در ارتباط با RCP 2.6 نشان می‌دهد که در فصل زمستان و پاییز روند بارش در فصل بهار و تابستان کاهشی و در فصل پاییز و زمستان افزایشی می‌باشد و بارش سالیانه به میزان ۳/۶ درصد نسبت به دوره مشاهداتی افزایش یافته است. میانگین دمای حداقل و حداکثر سالیانه به ترتیب ۳۷/۲ و ۱۶/۴ درصد افزایش یافته است (جدول ۵). نتایج مدل در هر دو سناریو (RCP 2.6 و RCP8.5) نشان داد که دمای حداقل و حداکثر در همه فصول افزایش می‌یابد.

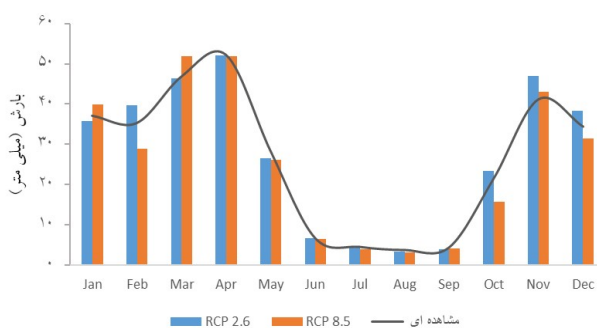
### شبیه‌سازی بارش، دمای حداقل و حداکثر با استفاده از مدل CCT

تغییرات میانگین بارندگی ماهانه، حداکثر و حداقل دما از خروجی مدل HadGEM2-ES طی سناریوهای RCP 2.6 و RCP 8.5 برای دوره آینده نزدیک (۲۰۲۵-۲۰۵۰) در مقایسه با دوره مشاهداتی (۱۹۹۰-۲۰۱۹) در نمودارها نشان داده شده است (شکل‌های ۶ و ۷). به طور کلی بیشترین میزان بارش در دوره مشاهداتی در فروردین و کمترین میزان بارش مربوط به مرداد ماه است. در شرایط کنونی سهم بارندگی در زمستان، بهار، تابستان و پاییز به ترتیب ۳۷/۵، ۴، ۲۷/۵ و ۲۳/۴ درصد است و سهم تابستان از بارندگی سالانه بسیار کم است. بررسی نتایج مدل HadGEM2-ES در ارتباط با RCP8.5 نشان می‌دهد که بارندگی در دوره ۲۰۵۰-۲۰۲۵ در همه فصول کاهش پیدا می‌کند و بیشترین تغییرات بارندگی مربوط

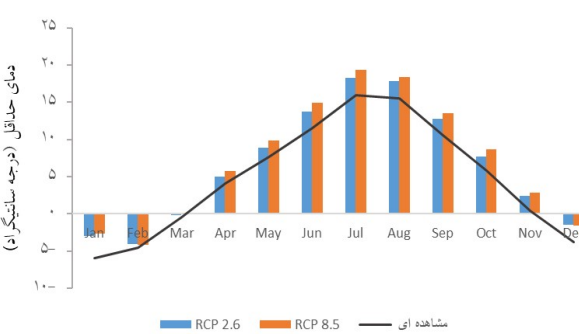
## پیش‌بینی تغییرات رواناب حوزه آبخیز زرینه‌رود تحت شرایط تغییر اقلیم از طریق شبیه‌سازی هیدرولوژیک

جدول ۵. درصد تغییرات فصلی و سالانه میانگین بارش، دمای حداقل و حداکثر تحت سناریوی انتشار RCP2.6 و RCP8.5 طی دوره ۲۰۵۰-۲۰۲۵ نسبت به مقادیر مشاهداتی (%)

نام مدل	فصلی/سالانه	بارندگی (RCP2.6)	بارندگی (RCP8.5)	دماهی حداقل (RCP8.5)	دماهی حداقل (RCP 2.6)	دماهی حداکثر (RCP 8.5)	دماهی حداکثر (RCP 2.6)	دماهی حداقل (RCP 2.6)	دماهی حداقل (RCP 8.5)
زمستان		-۳/۱	۴۳/۴	۲۴/۱	۲۸/۲	-۲/۱	۳/۳		
بهار		-۲/۳	۱۹	۱۶/۶	۱۲/۵	-۳	-۲/۳		
تابستان	HadGEM2-ES	-۶/۵	۱۶/۳	۱۶/۷	۱۴/۳	-۱۱/۲	-۶/۵	۱۶/۳	۱۶/۷
پاییز		۱۲	۲۵/۷	۲۷/۱	۲۲/۷	-۶/۵	۱۲		
سالانه		۳/۶	۳۷/۲	۲۰	۱۶/۴	-۲/۹	۳/۶		



شکل ۶. میانگین بارندگی ماهانه تحت سناریو انتشار RCP2.6 و RCP8.5 در دوره ۲۰۵۰-۲۰۲۵ در مقایسه با دوره مشاهداتی (۱۹۹۰-۲۰۱۹)



شکل ۷. میانگین دمای حداقل و حداکثر ماهانه تحت سناریو انتشار RCP2.6 و RCP8.5 در دوره ۲۰۵۰-۲۰۲۵ در مقایسه با دوره مشاهداتی (۱۹۹۰-۲۰۱۹)

ماهانه در ایستگاه نظام آباد (خرسچی حوضه) تحت RCP 2.6 و RCP 8.5 برای دوره آینده در مقایسه با دوره مشاهداتی (۱۹۹۶-۲۰۱۷) در شکل (۸) نشان داده شده است. نتایج مطالعه تغییرات رواناب در آینده (۲۰۲۵-۲۰۵۰) نشان داد که

### شبیه‌سازی رواناب تحت سناریوهای انتشار

با معرفی نتایج ریز مقیاس شده مدل HadGEM2-ES به مدل SWAT، تغییرات رواناب خرسچی حوضه در طی دوره ۲۰۵۰-۲۰۲۵ شبیه‌سازی گردید. تغییرات میانگین رواناب

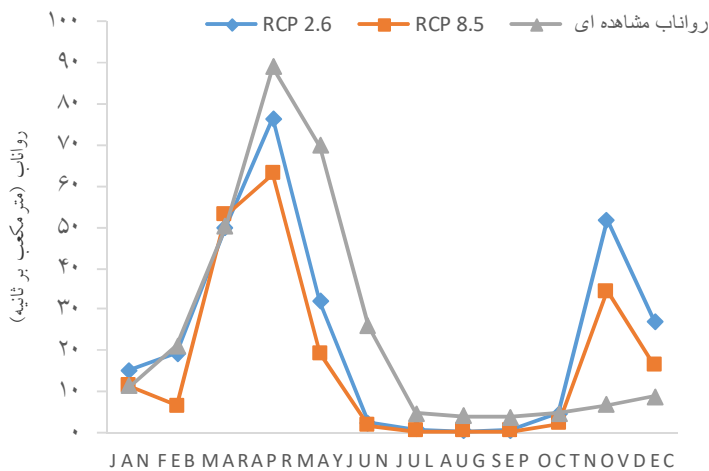
در هر دو سناریوی انتشار، در دوره آینده، میزان رواناب در فصل زمستان، بهار و تابستان نسبت به دوره مشاهداتی کاهش یافته است اما در مقابل، روند افزایشی رواناب پاییزی مشهود بوده است. میزان رواناب در دوره آینده در فصل پاییز تحت ۰.۷ درصد و تحت ۰.۵ درصد RCP ۲.۶ و تحت ۰.۴ درصد RCP ۸.۵ نسبت به دوره مشاهداتی افزایش یافته است (جدول ۶). میانگین رواناب سالانه در دوره آینده تحت ۰.۶ درصد RCP ۲.۶ و تحت ۰.۵ درصد RCP ۸.۵ است.

میانگین رواناب در ماه نوامبر و دسامبر تحت هر دو سناریو از مقادیر رواناب مشاهده شده بیشتر است، ولی در اکثر ماههای سال، رواناب تحت اثر سناریوها کمتر از رواناب در دوره مشاهداتی است. نتایج برای هر دو سناریو (RCP ۲.۶ و RCP ۸.۵)، در ماه جون در منطقه مورد مطالعه، بسیار به هم نزدیک است و در این ماه بیشترین میزان کاهش رواناب رخ داده است.

بیشترین و کمترین میزان رواناب در حوضه زرینه‌رود در دوره مشاهداتی به ترتیب در فصل بهار و تابستان است. تقریباً

جدول ۶ تغییرات میانگین فصلی و سالانه رواناب در دوره آینده در مقایسه با دوره مشاهداتی

مشاهداتی	درصد تغییرات میانگین رواناب در دوره آینده (۲۰۲۵-۲۰۵۰)						نام مدل	
	RCP 8.5		RCP 2.6		فصلی/سالانه			
	درصد تغییرات	مقدار	درصد تغییرات	مقدار	۱۹۹۰-۲۰۱۹			
HadGEM2-ES	↓	-۱۲/۳	۲۲/۶	↑	۲/۳	۲۸/۲	۲۷/۵	
	↓	-۵۴/۴	۲۸/۱	↓	-۴۰	۲۶/۹	۶۱/۶	
	↓	-۹۱/۹	۰/۳	↓	-۸۶	۰/۶	۴/۲	
	↑	۱۵۸/۵	۱۷/۶	↑	۳۰۸/۷	۲۷/۹	۶/۸	
	↓	-۳۰/۴	۱۷/۴	↓	-۶/۵	۲۳/۴	۲۵	



شکل ۸ میانگین رواناب ماهانه دوره مشاهداتی و دوره آینده تحت RCP2.6 و RCP8.5 در خروجی حوضه زرینه‌رود

به ترتیب، اعتبارسنجی و صحبت‌سنجی شد. سپس متغیرهای پیش‌بینی اقلیمی آینده (بارندگی، حداقل و حداکثر دما) از مدل HadGEM2-ES طی دوره ۲۰۲۵-۲۰۵۰ در مدل CCT ریزمقیاس شدند و برای بررسی تاثیر احتمالی تغییر اقلیم بر رواناب، به ابزار ارزیابی آب و خاک (SWAT) معرفی شدند.

### بحث و نتیجه‌گیری

در این پژوهش، اثر تغییر اقلیم بر رواناب حوضه زرینه‌رود تحت سناریوهای RCP2.6 و RCP 8.5 مورد بررسی قرار گرفت. برای این منظور ابتدا مدل SWAT برای دوره‌های ۱۹۹۶-۲۰۱۳ و ۲۰۱۴-۲۰۱۷ در مقیاس زمانی ماهانه

به دست آمده توسط Qin و همکاران (۲۰۰۷) است. میانگین رواناب سالانه در دوره آینده نزدیک تحت هر دو سناریو کاهش یافته است. علاوه بر این، در دوره آینده دور میزان رواناب در اکثر سناریوها کاهش یافته است، بنابراین میانگین سالانه ورودی به دریاچه ارومیه کاهش می‌یابد. تغییرات اقلیمی تاثیر منفی بر ورودی‌های دریاچه ارومیه دارد که لزوم اجرای راهکارهای سازگاری را هشدار می‌دهد. این نتایج پیش‌بینی شده در مورد کاهش رواناب سالانه دوره‌های آتی در حوضه زرینه‌رود، مشابه مطالعات انجام شده برای دریاچه ارومیه توسط Heydari Tasheh Kabood و همکاران (۲۰۲۰)، Sanikhani و همکاران (۲۰۱۸) و مطالعات انجام شده برای زیرحوضه‌های دریاچه ارومیه توسط Kanani و همکاران (۲۰۱۹) و Shirmohammadi و همکاران (۲۰۲۰) می‌باشد.

Lian و همکاران (۲۰۲۱) پیش‌بینی کردند که تغییرات اقلیم باعث کاهش  $65/64$  درصد رواناب در حوضه رودخانه یانه<sup>۱</sup> می‌شود. از آنجایی که RCP8.5، بدینانه تر از RCP2.6 است، افزایش دمای حداقل و حداکثر سالانه آن بیشتر ارزیابی شده است، اما میزان بارندگی در RCP8.5 کمتر ارزیابی شده است. از آنجایی که مدل‌های بارش-رواناب نسبت به تغییرات بارندگی حساس‌تر هستند (Fang *et al.*, 2015)، رواناب حاصل از RCP8.5 در دوره آینده کمتر تخمین زده شد. علی‌رغم اینکه برای دوره آینده، افزایش بارندگی (تقرباً ۴ درصد) در سناریو RCP2.6 پیش‌بینی می‌شود، اما رواناب سالانه حوضه در هر دو سناریو در دوره آتی کاهش یافته است، زیرا در مدل‌سازی SWAT، مدیریت اراضی کشاورزی به‌طور جدایگانه بر اساس هر زیرحوضه اجرا شد و کشاورزی در حوضه زرینه‌رود نیاز آبی بسیار بالایی دارد. در نتیجه بر میزان رواناب خروجی حوضه تاثیر گذاشته و باعث کاهش تخلیه رودخانه زرینه‌رود به دریاچه ارومیه می‌شود. در حال حاضر، بیشتر آب آبیاری برای کشاورزی در زرینه‌رود از آب‌های زیرزمینی، آب‌های سطحی و تاسیسات ذخیره‌سازی آب استخراج می‌شود. به‌منظور سازگاری با تاثیر منفی تغییر اقلیم بر رواناب حوضه زرینه‌رود، پیشنهاد می‌شود در طول دوره‌های کمبود آب، با به‌کارگیری یک مدل آبیاری، تخصیص آب آبیاری کشاورزی را کنترل کرد و با تغییر الگوهای کشت

نتایج نشان داد مدل SWAT کاربرد رضایت‌بخشی را برای شبیه‌سازی رواناب در حوزه آبخیز زرینه‌رود دارد، زیرا مدل تمام شرایط فیزیکی حوضه را جهت شبیه‌سازی در نظر می‌گیرد. همچنین ورودی‌های زیادی برای شبیه‌سازی بارش-رواناب در داخل مدل SWAT وجود دارد که توسط مدل استفاده می‌شود. نتایج به دست آمده در رابطه با ورودی‌های مدل SWAT مشابه نتایج Valeh و همکاران (۲۰۲۱) است. مقادیر  $R^2$ , NSE و PBIAS رواناب ماهانه شبیه‌سازی شده در دوره اعتبارسنجی، ثابت می‌کند که این مدل هم برای محاسبه میزان رواناب و هم برای شبیه‌سازی رواناب تحت سناریوهای مختلف مناسب است. بر اساس مطالعه Santos و همکاران (۲۰۲۱) در زمینه مدل‌سازی تاثیر تغییر اقلیم بر رواناب، نتایج مدل SWAT خوب است. با توجه به اینکه مقدار p-factor در این تحقیق بیش از  $0/5$  و ضریب R-factor در این حوضه نیز کوچک‌تر از  $1/5$  است، در نتیجه نشان دهنده پیش‌بینی عدم قطعیت‌های منطقی است. با بررسی نتایج در دوره آینده، میانگین حداقل و حداکثر دمای سالانه در حوضه افزایش می‌یابد. همچنین بارش سالانه  $۳/۶$  درصد افزایش تحت سناریوی خوش‌بینانه (RCP 2.6) و  $۲/۹$  درصد کاهش تحت سناریوی بدینانه (RCP 8.5) را نشان داد. این نتایج پیش‌بینی شده در دوره‌های آینده مشابه نتایج سایر مطالعات انجام شده در حوضه زرینه‌رود توسط Emami و Koch (۲۰۱۸) و دریاچه ارومیه توسط Alborzi و همکاران (۲۰۱۸) بود. با توجه به افزایش حداقل و حداکثر دما در دوره‌های آینده، می‌توان انتظار داشت که تغییر افزایش یابد که می‌تواند منجر به کاهش منابع آبی دریاچه ارومیه و زرینه‌رود شود.

از آنجایی که در سناریوهای اقلیمی روند افزایشی دما در حوضه در پاییز قوی‌تر بود، می‌توان نتیجه گرفت که روند افزایشی رواناب در پاییز ناشی از افزایش دما در این فصل است، زیرا با افزایش دما الگوی بارش تحت تاثیر قرار گرفته است و رژیم بارش در پاییز از بارش برف به بارندگی تغییر کرده است. این امر نشان می‌دهد که در دوره آتی، آب شدن برف نسبت به گذشته تسريع می‌شود و موقعیت سیل به میزان قابل توجهی افزایش می‌یابد. این نتیجه‌گیری مطابق با نتایج

- Mazdiyasni, O., Ashraf, S., Madani, K., Norouzi, H., Azarderakhsh, M., Mehran, A., Sadegh, M., Castelletti, A. and AghaKouchak, A. (2018) Climate-informed environmental inflows to revive a drying lake facing meteorological and anthropogenic droughts. *Environmental Research Letters*, 13(8), 084010. Retrieved from <https://doi.org/10.1088/1748-9326/aad246/>
- Anoh, K.A., Koua, T.J.J., Koua, K.J., Jourda, J.P. and Laurent, F. (2017) Modelling water flow in a complex watershed in humid a tropical area using SWAT: A case study of Taabo watershed in Ivory Coast. *International Journal of River Basin Management*, 16(2): 157-167. Retrieved from <https://doi.org/10.1080/15715124.2017.1387122/>
- Ashraf Vaghefi, S., Abbaspour, N., Kamali, B. and Mikayilov, F. (2017) A toolkit for climate change analysis and pattern recognition for extreme weather conditions – Case study: California-Baja California Peninsula. *Environmental Modelling and Software*, 96: 181-198. Retrieved from <https://doi.org/10.1016/j.envsoft.2017.06.033/>
- Boithias, L., Sauvage, S., Lenica, A., Roux, H., Mikayilov, F., Larnier, K., Dartus, D. and Sánchez Pérez, J. (2017) Simulating Flash Floods at Hourly Time-Step Using the SWAT Model. *Water*, 9(12), 929. <https://doi.org/10.3390/w9120929>
- Boroughani, M., Hashemi, H., Hosseini, S.H., Pourhashemi, S. and Berndtsson, R. (2020) Desiccating lake Urmia: A new dust source of regional importance. *IEEE Geoscience and Remote Sensing Letters*, 17(9): 1483-1487. Retrieved from <https://doi.org/10.1109/LGRS.2019.2949132/>
- Emami, F. and Koch, M. (2018) Evaluation of statistical-downscaling/bias-correction methods to predict hydrologic responses to climate change in the Zarrine river basin, Iran. *Climate*, 6(2): 30-30. Retrieved from <https://www.mdpi.com/2225-1154/6/2/30/>
- Emami, F. and Koch, M. (2019) Modeling the impact of climate change on water availability in the Zarrine river basin and inflow to the Boukan Dam, Iran. *Climate*, 7(4): 51-51. Retrieved from <https://www.mdpi.com/2225-1154/7/4/51/>
- Fang, G.H., Yang, J., Chen, Y.N. and Zammit, C. (2015) Comparing bias correction methods in downscaling meteorological variables for a hydrologic impact study in an arid area in China. *Hydrology and Earth System Sciences*, 19(6): 2547-2559. Retrieved from <https://doi.org/10.5194/hess-19-2547-2015/>
- Fu, Q., Shi, R., Li, T., Sun, Y., Liu, D., Cui, S. and Hou, R. (2019) Effects of land-use change and climate variability on streamflow in the Woken River basin in Northeast China. *River research and applications*, 35(2): 121-132.
- Hassanzadeh, E., Zarghami, M. and Hassanzadeh, Y. (2012) Determining the main factors in declining the Urmia lake level by using system dynamics modeling. *Water Resources Management*, 26(1): 129-145. Retrieved from <https://doi.org/10.1007/s11269-011-9909-8/>

به گیاهانی با نیاز آبی کم و همچنین بازیافت آب بتوان کمبود آب را کاهش داد.

## منابع

رضایی زمان، م.، مرید، س. و دلاور، م. (۱۳۹۲) ارزیابی اثرات تغییر اقلیم بر متغیرهای هیدرولوژی حوضه سیمینه رود. آب و خاک (علوم و صنایع کشاورزی)، ۶(۲۷): ۱۲۵۹-۱۲۴۷

محمدعلیزاده‌فرد، ا.، میرموسوی، س.ح.، یاراحمدی، ج. و فرجی، ع. (۱۳۹۹) ارزیابی اثر تغییر اقلیم در مناطق فاقد آمار مشاهداتی با استفاده از بسته نرم‌افزاری CCT. *مطالعه موردي حوضه دریان. نشریه علمی جغرافیا و برنامه‌ریزی*، ۳۲۳-۳۰۵: (۷۳)۲۴

نادری، س.، علیجانی، ب.، حجازی‌زاده، ز.، عباسپور، ک. و حیدری، ح. (۱۳۹۸) آنالیز الگوهای دما و بارش در آینده با استفاده از CCT، *مطالعه موردي حوضه آبخیز دریاچه ارومیه. کنفرانس بین‌المللی تغییر اقلیم، پیامدهای سازگاری و تعديل. ایران، تهران، دانشگاه خوارزمی*، ۲۱ خرداد ۱۳۹۸

Abbaspour, K. (2015) SWAT calibration and uncertainty programs—A user manual. Swiss Federal Institute of Aquatic Science and Technology: Eawag, Switzerland.

Abbaspour, K.C., Faramarzi, M., Ghasemi, S.S. and Yang, H. (2009) Assessing the impact of climate change on water resources in Iran. *Water resources research*, 45(10): W10434. Retrieved from <https://doi.org/10.1029/2008WR007615>

Ahmadaali, J., Barani, G.-A., Qaderi, K. and Hessari, B. (2018) Analysis of the effects of water management strategies and climate change on the environmental and agricultural sustainability of Urmia lake basin, Iran. *Water*, 10(2): 160-160. Retrieved from <https://www.mdpi.com/2073-4441/10/2/160/>

Ahmadi, M., Motamedvaziri, B., Ahmadi, H., Moeini, A. and Zehtabian, G.R. (2020) Assessment of the impact of climate change on runoff on the kan watershed in the future. *Watershed Management Research*, 33(2): 66-81. Retrieved from <https://doi.org/10.22092/wmej.2019.127163.1247/>

Ahmadvand, H., Morid, S., Delavar, M. and Srinivasan, R. (2016) Using the SWAT model to assess the impacts of changing irrigation from surface to pressurized systems on water productivity and water saving in the Zarrineh Rud catchment. *Agricultural Water Management*, 175:15–28

Alborzi, A., Mirchi, A., Moftakhi, H., Mallakpour, I., Alian, S., Nazemi, A., Hassanzadeh, E.,

- Switzerland in a changing climate – runoff regime changes and their time of emergence. *Hydrology and Earth System Sciences.*, 25(6): 3071-3086. Retrieved from <https://doi.org/10.5194/hess-25-3071-2021/>
- Neitsch, S., Arnold, J.G., Kiniry, J., Williams, J. and King, K. (2005) Soil and water assessment tool (SWAT) theoretical documentation. Blackland Research Center, Texas Agricultural Experiment Station, Temple, Texas (BRC Report 02-05).
- Qin, D., Chen, Z., Averyt, K., Miller, H., Solomon, S., Manning, M., Marquis, M. and Tignor, M. (2007) Ipcc, 2007: Summary for policymakers.
- Sanikhani, H., Kisi, O. and Amirataee, B. (2018) Impact of climate change on runoff in Lake Urmia basin, Iran. *Theoretical and Applied Climatology*, 132(2): 491-502. Retrieved from <https://doi.org/10.1007/s00704-017-2091-z/>
- Santos, J.Y.G.d., Montenegro, S.M.G.L., Silva, R.M.d., Santos, C.A.G., Quinn, N.W., Dantas, A.P.X. and Ribeiro Neto, A. (2021) Modeling the impacts of future LULC and climate change on runoff and sediment yield in a strategic basin in the Caatinga/Atlantic forest ecotone of Brazil. *CATENA*, 203, 105308. Retrieved from <https://doi.org/https://doi.org/10.1016/j.catena.2021.105308/>
- Sellami, H., Benabdallah, S., La Jeunesse, I. and Vanclooster, M. (2016) Quantifying hydrological responses of small Mediterranean catchments under climate change projections. *Science of The Total Environment*, 543: 924-936. Retrieved from <https://doi.org/https://doi.org/10.1016/j.scitotenv.2015.07.006/>
- Shang, X., Jiang, X., Jia, R. and Wei, C. (2019) Land use and climate change effects on surface runoff variations in the upper Heihe river basin. *Water*, 11(2): 344-344. Retrieved from <https://www.mdpi.com/2073-3442/11/4/441/>
- Shi, H. and Wang, G. (2015) Impacts of climate change and hydraulic structures on runoff and sediment discharge in the middle Yellow River. *Hydrological Processes*, 29(14): 3236-3246.
- Shirmohammadi, B., Malekian, A., Salajegheh, A., Taheri, B., Azarnivand, H., Malek, Z. and Verburg, P.H. (2020) Impacts of future climate and land use change on water yield in a semiarid basin in Iran. *Land Degradation and Development*, 31(10), 1252-1264.
- Vaghefi, S.A., Keykhai, M., Jahanbakhshi, F., Sheikholeslami, J., Ahmadi, A., Yang, H. and Abbaspour, K.C. (2019) The future of extreme climate in Iran. *Scientific reports*, 9(1): 1464-1464. Retrieved from <https://doi.org/10.1038/s41598-018-38071-8/>
- Valeh, S., Motamedvairi, B., Kiadaliri, H. and Ahmadi, H. (2021) Hydrological simulation of Ammameh basin by artificial neural network and SWAT models. *Physics and Chemistry of the Earth, Parts A/B/C*, 123, 103014. Retrieved from <https://doi.org/https://doi.org/10.1016/j.pce.2021.103014/>
- Hempel, S., Frieler, K., Warszawski, L., Schewe, J. and Piontek, F. (2013) A trend-preserving bias correction and ndash; the ISI-MIP approach. *Earth System Dynamics*, 4(2): 219-236. Retrieved from <https://doi.org/10.5194/esd-4-219-2013/>
- Heydari Tasbeh Kabood, S., Hosseini, S.A. and Heydari Tasbeh Kabood, A. (2020) Investigating the effects of climate change on stream flows of Urmia Lake basin in Iran. *Modeling Earth Systems and Environment*, 6(1): 329-339. Retrieved from <https://doi.org/10.1007/s40808-019-00681-0/>
- Hu, J., Ma, J., Nie, C., Xue, L., Zhang, Y., Ni, F., Deng, Y., Liu, J., Zhou, D., Li, L. and Wang, Z. (2020) Attribution Analysis of Runoff Change in Min-Tuo River Basin based on SWAT model simulations, China. *Scientific Reports*, 10(1): 2900. Retrieved from <https://doi.org/10.1038/s41598-020-59659-z/>
- Jalili, S., Hamidi, S.A. and Namdar Ghanbari, R. (2016) Climate variability and anthropogenic effects on Lake Urmia water level fluctuations, Northwestern Iran. *Hydrological Sciences Journal*, 61(10): 1759-1769. Retrieved from <https://doi.org/10.1080/02626667.2015.1036757/>
- Kanani, R., fakheri fard, A., Ghorbani, M.A. and Dimpashoh, Y. (2019) Analysis of the role of climatic and human factors in runoff variations, case study Lighvan River in Urmia Lake Basin, Iran. *Journal of Water and Climate Change*, 11(1): 291-302. Retrieved from <https://doi.org/10.2166/wcc.2019.186/>
- Knutti, R., Furrer, R., Tebaldi, C., Cermak, J. and Meehl, G.A. (2010) Challenges in combining projections from multiple climate models. *Journal of Climate*, 23(10): 2739-2758.
- Lian, Y., Sun, M., Wang, J., Luan, Q., Jiao, M., Zhao, X. and Gao, X. (2021) Quantitative impacts of climate change and human activities on the runoff evolution process in the Yanhe River Basin. *Physics and Chemistry of the Earth, Parts A/B/C*, 122, 102998. Retrieved from <https://doi.org/https://doi.org/10.1016/j.pce.2021.102998/>
- Luo, K., Tao, F., Moiwo, J.P. and Xiao, D. (2016) Attribution of hydrological change in Heihe River Basin to climate and land use change in the past three decades. *Scientific reports*, 6(1): 33704. Retrieved from <https://doi.org/10.1038/srep33704/>
- Mahmudi, P., Motamedvaziri, B., Hosseini, M., Ahmadi, H. and Amini, A. (2021) Study of climate change effects on hydrological processes in Siminehroud and Zarrinehroud watersheds Northwest of Iran. *Earth Science Informatics*, 14(2): 965-974. Retrieved from <https://doi.org/10.1007/s12145-021-00598-2/>
- Mittal, N., Bhave, A.G., Mishra, A. and Singh, R. (2016) Impact of human intervention and climate change on natural flow regime. *Water Resources Management*, 30(2): 685-699. Retrieved from <https://doi.org/10.1007/s11269-015-1185-6/>
- Muelchi, R., Rössler, O., Schwanbeck, J., Weingartner, R. and Martius, O. (2021) River runoff in

- Yu, Y., Liu, J., Yang, Z., Cao, Y., Chang, J. and Mei, C. (2018) Effect of climate change on water resources in the Yuanshui River Basin: a SWAT model assessment. *Arabian Journal of Geosciences*, 11(11): 270-270. Retrieved from <https://doi.org/10.1007/s12517-018-3619-y/>
- Zhang, A., Liu, W., Yin, Z., Fu, G. and Zheng, C. (2016b) How will climate change affect the water availability in the Heihe river basin, Northwest China. *Journal of Hydrometeorology*, 17(5): 1517-1542. Retrieved from <https://doi.org/10.1175/JHM-D-15-0058.1/>
- Zhang, C., Zhang, B., Li, W. and Liu, M. (2014) Response of streamflow to climate change and human activity in Xitaoxi river basin in China. *Hydrological Processes*, 28(1): 43-50.
- Zhang, L., Nan, Z., Xu, Y. and Li, S. (2016a) Hydrological impacts of land use change and climate variability in the headwater region of the Heihe river basin, Northwest China. *PLoS One*, 11(6): e0158394. Retrieved from <https://doi.org/10.1371/journal.pone.0158394/>
- Van Griensven, A., Meixner, T., Grunwald, S., Bishop, T., Diluzio, M. and Srinivasan, R. (2006) A global sensitivity analysis tool for the parameters of multi-variable catchment models. *Journal of Hydrology*, 324(1): 10-23. Retrieved from <https://doi.org/https://doi.org/10.1016/j.jhydrol.2005.09.008/>
- Wu, F., Zhan, J., Su, H., Yan, H. and Ma, E. (2015) Scenario-based impact assessment of land use/cover and climate changes on watershed hydrology in Heihe river basin of Northwest China. *Advances in Meteorology*, 2015: 410198. Retrieved from <https://doi.org/10.1155/2015/410198/>
- Yazdandoost, F., Moradian, S. and Izadi, A. (2020) Evaluation of water sustainability under a changing climate in Zarrineh river basin, Iran. *Water Resources Management*, 34(15): 4831-4846. Retrieved from <https://doi.org/10.1007/s11269-020-02693-3/>
- Ye, X., Zhang, Q., Liu, J., Li, X. and Xu, C.-y. (2013) Distinguishing the relative impacts of climate change and human activities on variation of streamflow in the Poyang Lake catchment, China. *Journal of Hydrology*, 494: 83-95. Retrieved from <https://doi.org/https://doi.org/10.1016/j.jhydrol.2013.04.036/>

## Prediction of runoff changes in Zarrineh river basin under climate change conditions via hydrological simulation

Maliheh Rahvareh<sup>1</sup>, Baharak Motamedvaziri<sup>2\*</sup>, Alireza Moghaddamnia<sup>3</sup> and Ali Moridi<sup>4</sup>

- 1) Ph.D candidate of Watershed Management Science and Engineering, Faculty of Natural Resources and Environment, Science and Research Branch, Islamic Azad University, Tehran, Iran.
- 2) Assistant professor, Department of Range and Watershed Management, Faculty of Natural Resources and Environment, Science and Research Branch, Islamic Azad University, Tehran, Iran. \*Corresponding Author Email Address: bmvaziri@gmail.com
- 3) Associate Professor, Department of Rehabilitation of Arid and Mountainous Regions, Faculty of Natural Resources, University of Tehran, Karaj, Iran.
- 4) Assistant professor, Faculty of Civil, Water and Environmental Engineering, Shahid Beheshti University, Tehran, Iran.

Date of Submission: 2020/11/07

Date of Acceptance: 2021/03/09

### Abstract

It is necessary to study the behavior of the river under the effect of climate change, especially the runoff in the future periods. This study evaluated the effect of climate change on the runoff of Zarrineh river basin (the largest sub-basin of Lake Urmia) considering the General Circulation Model (GCM) under two Representative Concentration Pathway (RCP) scenarios (2.6 and 8.5). For this purpose, temperature and precipitation changes in the future periods in Zarrineh river basin were studied using climate data of Had GEM2-ES model during the period 2025-2050. The Climate Change Toolkit (CCT) was used to downscale climate data. The Soil and Water Assessment Tool (SWAT) hydrological model was used to evaluate the impact of climate change on runoff of the basin. Also, the SWAT model was calibrated and validated using monthly runoff. Then, downscaled results of the general circulation model introduced to the SWAT model. And runoff changes at the outlet of the basin were simulated during 2025-2050. The results showed that the SWAT model has good performance in runoff simulation. The average results of the CCT model revealed that the maximum and minimum temperatures would increase in 2025-2050. The annual precipitation could increase 3.6% under RCP 2.6 and decrease 2.9% under RCP 8.5. The seasonal trends in the runoff showed a decreasing trend in winter, spring and summer while an increasing trend in autumn. Annual runoff under RCP 2.6 and RCP 8.5 has decreased 6.5% and 30% respectively. Which subsequently reduces the discharge of this river to Lake Urmia.

**Keywords:** Climate change, HadGEM2-ES, RCP scenarios runoff, SWAT model, Zarrineh river basin.